УДК 541.123.24

ФИЗИЧЕСКАЯ ХИМИЯ

О. К. БЕЛОУСОВ, И. И. КОРНИЛОВ

ПЛОТНОСТЬ СОСТОЯНИЙ И НЕКОТОРЫЕ ФИЗИЧЕСКИЕ СВОЙСТВА СПЛАВОВ СИСТЕМЫ ВАНАЛИЙ — ХРОМ

(Представлено академиком Н. В. Агеевым 1 XI 1972)

Наличие пиков и перегибов на кривых $N(\varepsilon)$ влияет на такие физические свойства, как электронная часть теплоемкости $\gamma_{\text{эл}}$, атомная восприимчивость $\gamma_{\text{ал}}$, абсолютная термо-э.д.с. и др. (1).

Для сплавов элементов 3d-ряда в области электронной концентрации от 4 до 6 эл/ат наблюдается значительный максимум $N(\varepsilon)$ (рис. 1) $(^2, ^3)$. Он может несколько смещаться и варьировать в пределах 0,1 эл/ат для различных сплавов. На область от 5 до 6 эл/ат приходится крутой спад этой кривой к глубокому минимуму, который лежит при $\sim 5,9-6,0$ эл/ат. Указанной области электронных концентраций (т. е. и соответствующей энергии электронов) отвечают сплавы вападия с хромом, для которых имеются данные по зависимости $\gamma_{\text{эл}}$ от состава $(^2)$, значениям параметра a о.ц.к. решетки $(^4)$ и некоторым другим свойствам.

В этой системе во всем интервале концентраций наблюдается непрерывный ряд твердых растворов и попытки (5) обнаружить σ -фазу при

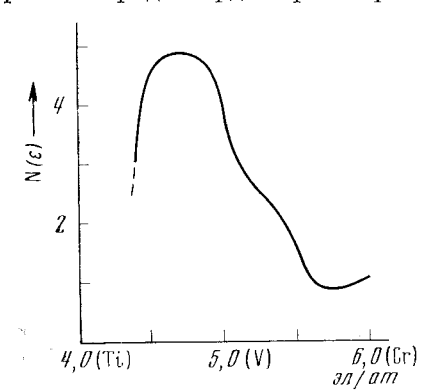


Рис. 1. Плотность состояний для элементов 3d-ряда и их сплавов (по данным $\binom{2}{3}$)

соотношении атомов $\sim 1:1$ не привели к успеху. В настоящее время установлено, что о и родственные ей R- и χ -фазы переходных металлов образуются при значениях электронной концентрации между 5,6 и 7,6 эл/ат (3), хотя это правило и не является строгим. Также не была обнаружена область двухфазного ($\beta_1 + \beta_2$) распада твердого раствора. Диаграмма плавкости имеет минимум при 1750° С и 69,5 ат. % хрома (6). Параметр α изменяется с небольшим отрицательным отклонением от лицейной зависимости (4).

Сплавы в данном исследовании приготовлялись методом бестигельной плавки с соблюдением мер предосторожности против загрязнений и термообраба-

тывались по режиму 800-600° с выдержкой от суток до 100 час. Проводился их весовой контроль.

Измерялись $\chi_{\rm at}^{20^{\circ}}$ методом взвешивания образца в магнитном поле, абс. термо-э.д.с. и электросопротивление $\rho_{20^{\circ}}$ во всем интервале концентраций. По данным об изменении a (4) было рассчитано изменение атомного объема Ω , A^3 .

На рис. 2 и 3 приведены эти результаты. Изменение $\gamma_{\text{эл}}$ показывает, что в области средних концентраций наблюдается некоторая аномалия электронной теплоемкости — небольшая выпуклость, тогда как в области меньших электронных копцентраций и больших — наоборот. Подобная аномалия наблюдается и на кривой $N(\varepsilon)$ (рис. 1). Абсолютная термо-э.д.с. может быть чувствительна к таким перегибам, во первых, из-за того, что

значение длины свободного пробега электрона можно выразить через плотность состояний в d-зоне, т. е. $\Lambda \sim 1/Nd(\epsilon)$ (7) и при этом величина $\partial \ln Nd(\epsilon)/\partial \epsilon$, входящая в уравнение для абс. термо-э.д.с., будет определяющей, так как d-электроны вносят основной вклад в $\gamma_{\text{эл}}$ и следовательно, в $N(\epsilon)$.

Если принять за основу упрощенную двухзонную модель для переходных металлов 3d-ряда, то изменение величины $\partial \ln Nd(\epsilon)/\partial \epsilon$ должно сильно влиять на абсолютные значения, а также знак S_{abc} и может быть результатом относительного изменения ширипы и положения s- и d-энертетических полос.

Из рис. 2 видно, что положительные значения S_{afc} возрастают от +0.1 µв/град (ванадий) до +9.5 µв/град (хром). В области 5.4-4.7 эл/ат наблюдается резкий экстремум S в сторону уменьшения положительных и возрастания отрицательных значений.

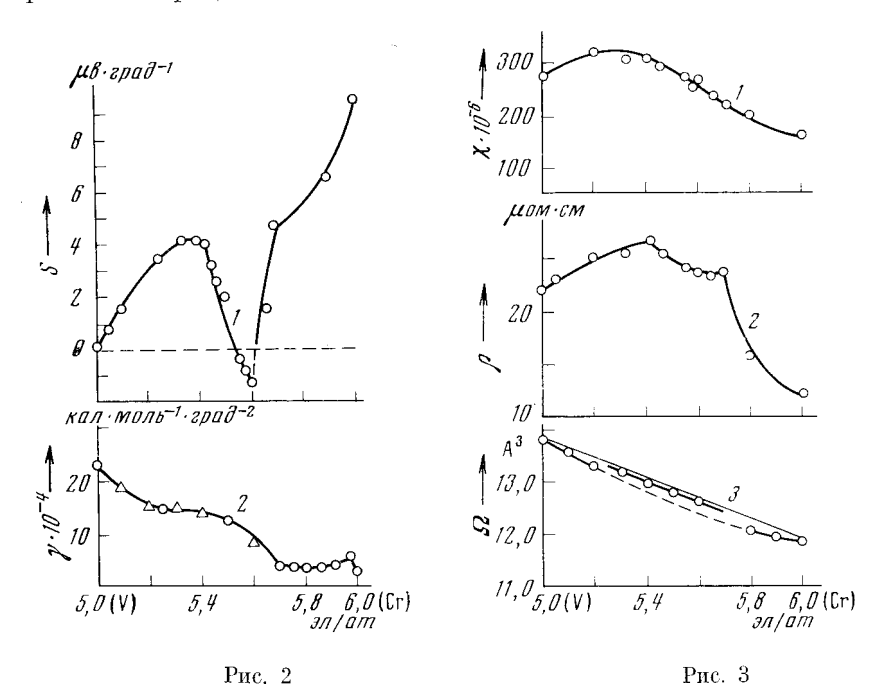


Рис. 2. Абсолютная термо-э.д.с. (наши данные) (1) и коэффициент электронной теплоемкости (по $(^2)$) (2) сплавов системы вападий — хром Рис. 3. Атомная восприимчивость $\chi_{\rm ar}^{5.0^\circ}$ (1), удельное электросопротивление ρ_{20° (2) и изменение атомного объема Ω_{20° (3) сплавов системы ванадий — хром $(\Omega$ вычислено по $(^5)$)

Из спектроскопических данных известно, что от ванадия к хрому измсняется характер заполнения d-оболочки электронами и наблюдается $s \to d$ -переход, при этом d-состояния заполняются паполовину и это приводит к возпикновению аптиферромагнетизма у хрома, т. е.

$$4s^23d^3(V) \to 4s^43d^5(Cr)$$
.

Также отмечается $(^8, ^9)$, что известпые аномалии в температурной зависимости электросопротивления и абс. термо-э.д.с. хрома, по-видимому, обязаны $3d \rightarrow 4s$ -переходу выше точки Кюри и, таким образом, возрастанию количества электронов проводимости. Есть предположения, что при этом нарушается и размещение атомов, соответствующее ОЦК решетке.

На наш взгляд, по-видимому, область 5,4-5,6 эл/ат связапа с небольшим возрастанием плотности состояний в d-зоне. При этих электронных концентрациях, вероятно, точка Кюри достигает комнатной температуры,

при которой проводились наши измерения (необходимо вспомнить, что у ванадия также существует переход в антиферромагнитное состояние ниже комнатной температуры). Дальнейшее легирование ведет к росту положительных значений S вплоть до чистого хрома.

На кривой $\rho_{20}-e/a$ имеются две точки перегиба при 5,4 и 5,7 эл/ат, которые тоже можно связать с таким переходом. Выше электронной кондентрации 5,5—5,6 эл/ат, значения $\gamma_{0\pi}$ и, следовательно, $N(\epsilon)$ уменьшаются более резко и проходят через минимум. Это уменьшение подтверждают также измеренные пами значения восприимчивости $\chi_{\rm ar}^{20}$ (рис. 3), поскольку это должно коррелировать с уравнением

$$\chi_p \cong \mu_{\rm B}^2 N(\varepsilon_{\Phi}), \tag{1}$$

где μ_B — магнетон Бора. Антиферромагнетизм обычно обнаруживается по плавному перегибу (горбу) на температурной зависимости восприимчивости. В наших изотермических условиях состав может играть роль температуры и кривая $\chi_{\rm ar}^{20^\circ}$ дает указание на возможность появления антиферромагнетизма у сплавов с концентрацией (s+d) электронов больше 5.4 эл / ат.

То, что энергия наивысшего уровня в d-зоне принимает экстремальные значения между 5,4-5,6 эл/ат можно показать из уравнения Джонса для термо-э.д.с. (10)

 $[E_0 - E_{\phi}] = -1.22T^2 / S, \tag{2}$

где E_0 — энергия наивысшего уровня в d-зоне. E_{Φ} — энергия Ферми; T— абс. температура; S— абс. т.-э.д.с. из которого видно, что при отрицательных значениях S будет преобладать величина E_0 .

Зависимость атомного объема от e/a имеет небольшую аномалию (рис. 3). Эта аномалия связана скорее с электронным строением сплавов (например, указанный переход в антиферромагнитное состояние), чем с нарушениями в расположении атомов, соответствующем о.ц.к. решетке.

Перекрытие областей распределения электронного заряда и обменная энергия характеризуются, как известно, величиной обменного интеграла I. Энергия Кулоновского взаимодействия атомов для случая, когда спины электронов параллельны и антипараллельны, должна сильно изменяться. Это может привести к изменению атомного объема Ω , поскольку обменный интеграл перекрытия определяется из:

$$I=\lambda g^2\mu_{\rm\scriptscriptstyle B}^2/2z\Omega,$$

где λ — постоянная молекулярного поля; g — фактор спектроскопического расщепления (\sim 2), z — координационное число и Ω — атомный объем.

Таким образом, вероятнее всего, область 5.4-5.7 эл/ат — область двухфазного равновесия обычного и антиферромагнитного состоящия групп кристаллов и источником аномалии теплоемкости может служить магнитная анизотропия (апалогичные, но более сильные аномалии наблюдаются при возникновении ферромагнетизма) (3). Это должно отражаться на свойствах, связанных с поведением (s+d)-электронов, но всегда приводит к изменениям в атомном распределении.

Институт металлургии им. А. А. Байкова Академии наук СССР Москва Поступило 46 X 4972

цитированная литература

¹ Г. Джонс, Теория зон Бриллуэна и электронные состояния в кристаллах, М., 1968. ² С. Сheng, С. Wei, Р. Веск, The Physical Rev., 120, № 2, 426 (1960). ³ Электронная структура переходных металлов и химия их силавов, М., 1966, стр. 37, 97. ⁴ W. Pearson, Handbook of Lattice Spacing and Structures of Metals, Oxford, 1967, p. 852. ⁵ W. Pearson, J. Christian, W. Hume-Rothery, Nature, 167, 110 (1951). ⁶ О. Carlson, D. Eash, A. Eustice, Reactive Metals, AIME, 2, 277 (1959). ⁷ Д. Займан, Электроны и фононы, ИЛ, 1962. ⁸ Н. Söchtig, Ann. Phys., 38, 97 (1940). ⁹ А. Салли, Хром, 1958. ¹⁰ N. Mott, H. Jones, The Theory of Properties of Metals and Alloys, Oxford, 1936.